

## چین خوردگی فعال ناشی از جنبش جوان سامانه گسل درونه

حمیدرضا جوادی<sup>۱\*</sup>، محمد رضا قاسمی<sup>۱</sup>، مجید شاه پسند زاده<sup>۲</sup> و مرضیه استرابی آشتیانی<sup>۱</sup>

<sup>۱</sup>سازمان زمین‌شناسی و اکتشافات معدنی کشور، تهران، ایران.

<sup>۲</sup>دانشگاه تحصیلات تکمیلی صنعتی کرمان، کرمان، ایران.

تاریخ دریافت: ۱۳۸۷/۰۵/۱۹

تاریخ پذیرش: ۱۳۸۸/۰۵/۱۹

### چکیده

سامانه گسل درونه با سازوکار راستالغز چپ بر همراه با مؤلفه شب لغز معکوس در شمال خرد قاره ایران مرکزی قرار دارد و با توجه به هندسه خمیده آن می‌توان آن را به ۳ بخش خاوری، میانی و باختری تقسیم کرد. بخش میانی گسل از شهرستان تربت حیدریه در خاور تا روستای اباد در باختر کشیده شده است و در تمام طول خود از میان نهشته‌های سست و جدا از هم آبرفتی کواترنری می‌گذرد. سامانه گسل درونه در این ناحیه از پاره‌های متعددی تشکیل شده است. هندسه خم و فراگام راست پله گسل در سطح و جنبش راستالغز چپ بر آن سبب شده است تا در این نواحی ترافشارش محلی ایجاد شده و چین خوردگی‌های بسیار جوانی دیده می‌شود. هسته این چین خوردگی‌ها بیشتر مارن، سنگ‌ماسه و سنگ فورش نثار و یال‌ها از نهشته‌های سست گراولی پلیستوسن تشکیل شده‌اند. چین‌های یاد شده طی دو سازوکار متفاوت شکل گرفته‌اند: دسته نخست طاقدیس‌های شکل گرفته در خم راست پله سامانه گسل درونه‌اند در حالی که دسته دوم پشته‌های فشاری محصور بین شاخه‌های موازی و همپوشان گسل هستند. برآورد نرخ نسبی فرایش بر روی چین‌های یاد شده نشان می‌دهد که مناطق با بیشترین فرایش همراه است با بیشترین رویداد زمین‌لرزه بر روی سامانه گسل درونه.

**کلیدواژه‌ها:** سامانه گسل درونه، چین خوردگی فعال، پشته فشاری، نرخ فرایش.

E-mail: hr.javadi.k@gmail.com

\*نویسنده مسئول: حمیدرضا جوادی

### ۱- مقدمه

خمیدگی و همپوشان قطعات آن دید. در شکل گیری این ساختارها جنبش راستالغز چپ بر گسل، مؤلفه شب لغز معکوس آن، جهت شب گسل، هندسه همپوشان (overlapping) و یا خمیده آن مؤثر بوده‌اند. این در حالی است که در ناحیه یاد شده غایلیت گسل از لحاظ لرزه‌خیزی چندان پویایی ندارد و تعداد زمین‌لرزه‌های اندکی در سده بیست و بیست و یک بر روی آن به ثبت رسیده است. از این رو با توجه به این که بسیاری از جنبش‌های گسلی بدون رخداد زمین‌لرزه و به صورت حرکات غیرلرزه‌ای (aseismic) هستند، بررسی‌های ریخت‌زمین‌ساختی برای دستیابی به چگونگی فعلی این گسل‌های جبا‌حائزه‌ی اهمیت است. در این نوشتار، تلاش شده‌است جنبش قائم و شکل گیری ساختارهای همزمان با ترافشارش محلی (local transposition) در بخش میانی سامانه گسلی درونه مورد بررسی قرار گرفته و ارتباطی منطقی بین چگونگی توزیع و فرگشت این ساختارها با لرزه‌خیزی این سامانه گسلی برقرار شود.

### ۲- رویداد چین خوردگی‌های جوان (تروافشارش) در زمان کواترنری

چین خوردگی‌های جوان در راستای سامانه گسل درونه، به عنوان یکی از شواهد زمین‌ریخت‌شناسی، در تصاویر ماهواره‌ای و مدل‌های ارتفاعی رقومی به خوبی قابل دیدن هستند (شکل ۱). بافرض در نظر گرفتن هندسه خم و فراگام(en echelon) گسل در سطح، دیده می‌شود که مؤلفه راستالغز چپ بر سامانه گسل درونه در نواحی خم و فراگام راست پله (right lateral step)، عامل بالا آمدگی و چین خوردگی‌های جوان پلیستوسن-پلیستوسن در این نواحی بوده است. همچنین در مناطقی از طول این سامانه گسلی که گسل هندسه همپوشان (overlapping) فراگام و شاخه شاخه (branching) دارد، ترافشارش محلی ایجاد شده باعث شکل گیری پشته‌های فشاری (pressure ridges) شده است. در ایجاد چین خوردگی‌های جوان سامانه گسل درونه عامل شب این گسل را نیز باید در نظر گرفت. چرا که در نواحی باختری محدوده موردن بررسی (شکل ۱) با توجه به شب رو به جنوب گسل همراه با مؤلفه شب لغز معکوس، جنبش گسل سبب شکل گیری طاقدیس‌های این ناحیه (طاقدیس‌های کشمیر، انابد و مهلاز) شده است. شب این گسل با توجه به سازوکار راستالغز آن زیاد است و جهت آن به سوی شمال

ریخت‌شناسی پهنه‌های گسلی فعال غالب در برگیرنده اطلاعاتی درباره توسعه و تکامل گسل‌ش است، اطلاعاتی که بر پایه مطالعات محض لرزه‌شناسی به دست نمی‌آیند (Burbank et al., 1996; Jackson et al., 1996; Keller et al., 1998). بسیاری از عوارض زمین‌ریخت‌شناسی در ارتباط با حرکات زمین‌ساختی پویا پدید می‌آیند. بر این اساس بررسی‌های ریخت‌زمین‌ساختی عوارض جوان همچون افزارهای گسلی، پادگانه‌های رودخانه‌ای، مخروطه‌افکنه‌ها، سطوح مثلثی شکل واقع بر روی افزار گسلی، آبراهه‌های قطع شده، جایه‌جاشدگی نهشته‌های کواترنری توسط گسل‌ها و چین خوردگی‌یا خمیدگی نهشته‌های جوان اطلاعات جامعی را در ارتباط با حرکات پویا در یک منطقه فراهم می‌آورند (Keller and Pinte, 2002).

دگرگشکلی جنبا در ایران حاصل همگرایی بین صفحه عربی و اوراسیا است. این همگرایی هم شامل دگرگشکلی داخل قاره‌ای بر روی کمرندهای چین خوردگه رانده زاگرس ( $6/5 \pm 2$  mm/yr) و البرز ( $8 \pm 2$  mm/yr) و هم فروزانش دریای عمان به زیر پهنه مکران ( $19/5 \pm 2$  mm/yr) است (Vernant et al., 2004). همگرایی یاد شده عامل اصلی جنبش دوباره گسل‌های شمالی-جنوبی ایران مرکزی و خاور ایران است که به میزان  $16 \pm 2$  mm/yr در جنوب عرض جغرافیایی  $34^{\circ}$ N اعمال می‌شود (Vernant et al., 2004). در شمال عرض جغرافیایی  $34^{\circ}$ N برش یاد شده بر روی گسل‌های خاوری-باختری درونه و دشت بیاض منتقل می‌شود (Jackson and Mc Kenzie, 1984; Jackson et al., 1995; Walker and Jackson, 2004; Allen et al., 2006). سامانه گسل درونه (Stocklin, 1968) و یا گسل بزرگ کویر (Wellman, 1966) با سازوکار راستالغز چپ بر همراه با مؤلفه شب لغز معکوس (جوادی, ۱۳۸۵) پس از گسل اصلی زاگرس به عنوان دومن گسل بزرگ ایران در شمال خرد قاره ایران مرکزی قرار دارد که به صورت یک گسل تاریخت (transform) در میان پهنه‌های عملده روسوبی-ساختاری ایران قرار دارد. بر پایه مطالعات Fattah et al. (2007) نرخ لغزش افقی چپ بر روی بخش میانی گسل در حدود  $2/4 \pm 0/3$  میلی متر بر سال برآورد شده است. در بخش میانی و باختری این سامانه گسلی، که بیشتر از میان نهشته‌های جوان نثار و عبور می‌کند، می‌توان آثار فعالیت‌های ترافشارش و تراکشن ناشی از جنبش راستالغز چپ بر گسل درونه را در نواحی

محل خم راست پله سامانه گسل درونه دیده می شود (شکل ۶) و اثر سطح محوری آن تقریباً موازی با روند سامانه گسل درونه در خم راست پله گسل در این ناحیه است. طاقدیس کاج درخت به صورت طاقدیس نامتقارن به نظر می رسد که يال جنوب باختری آن به مراتب طولانی تر از يال شمال خاوری آن است و اثر سطح محوری آن به احتمال زیاد به سوی جنوب باختر شبی دارد (شکل ۵ نیمرخ های ۲ و A). در ازای این طاقدیس در حدود ۳/۸۵ کیلومتر و پهنه میانگین آن در بخش های میانی حدود ۱/۶۰ کیلومتر است. جنس واحدهای رسوبی در يال های این طاقدیس نهشته های آبرفی جوان پلیوسن - پلیستون است، در حالی که رخمنوی از رسوبات هسته چین آشکار نیست. با توجه به موارد مشابه با این طاقدیس در طول سامانه گسل درونه و نیز واحدهای سنگی مارن و سنگ ماسه های میوسن که در زیر نهشته های پلیوسن - کواترنری قرار گرفته اند، احتمال حضور این نهشته ها در هسته پنهان این طاقدیس وجود دارد. همان گونه که در شکل ۴ ملاحظه می شود، تعداد آبراهه های متروک در يال جنوب باختری طاقدیس به مراتب بیشتر از يال شمال خاوری آن است. فراوانی این آبراهه ها در يال جنوب باختری و زرفای بیشتر آنها بر روی این يال و نیز شبی ملايم تر این يال نسبت به يال شمال خاوری، به همراه تمایل اثر سطح محوری طاقدیس کاج درخت به سمت يال شمال خاوری نشان دهنده هندسه سامانه گسل درونه در این بخش است که بر این اساس می توان نتیجه گرفت، شبی سامانه گسل درونه در این ناحیه به سوی جنوب تا جنوب باختر است. شبی به سوی جنوب گسل درونه در این ناحیه با فرایش نهشته های بادگانه های رودخانه شادمهر در بلوك چنوبی گسل نیز همخوانی دارد. در ارتباط با راستای رشد و مهاجرت طاقدیس کاج درخت می توان از آبراهه های متروک (خشک شده) موجود بر روی يال های چین، زرفای آنها و نیز انحراف آبراهه ها در امتداد اثر سطح محوری این طاقدیس استفاده کرد. با توجه به شکل ۴ و نیمرخ A از شکل ۵ که برش طولی از طاقدیس کاج درخت را نشان می دهد، مشاهده می شود که تعداد آبراهه ها در بخش خاوری بیشتر از بخش باختری است، ضمن این که زرفای آنها در بخش خاوری نیز بیشتر است. افزون بر این، مشاهده می شود که آبراهه جاری با انحراف چپ بر در امتداد يال شمالی طاقدیس مسیر نسبتاً طولانی را موازی با اثر سطح محوری چین طی می کند. بر این اساس می توان راستای پیشوی و رشد طاقدیس کاج درخت را از جنوب خاور به سوی شمال باختر در نظر گرفت.

### ۳-۲. سوی طاقدیس های باختر کال شادمهر

در باختر کال شادمهر سامانه گسل درونه به صورت دو شاخه اصلی و موازی هم دیده می شود، که به سمت باختر به یکدیگر می پیوندند (شکل ۹). با توجه به مؤلفه چپ بر سامانه گسل درونه و نیز هندسه همپوشان این دو قطعه گسلی، رسوبات جوان پلیوسن - کواترنری در يک سامانه تراپفارشی محلی محصور بین این گسل ها، چین خورده اند. این وضعیت سبب تشكیل و توسعه پشته های فشاری با هسته ای از رسوبات نوژن (مارن، چیج و سنگ ماسه های میوسن) در این قطعه از سامانه گسل درونه شده است (شکل ۸). هسته چین های ياد شده به روشنی بر روی سطح زمین رخمنوی یافته است، به گونه ای که در تصاویر ماهواره ای و عکس های هوایی، بروزند رسوبات میوسن با رنگ روش از رسوبات پلیوسن - کواترنری تیره رنگ قابل تمایز است (شکل ۷). نیمرخ های ۱ و ۲ از شکل ۱۰ طاقدیس ها (پشته های فشاری) کوچک، که در این جا نام سری طاقدیس های باختر کال شادمهر به آنها داده شده است، را نشان می دهد. بروزند واحدهای رسوبی نوژن و فرایش شدید نهشته های جوان پلیوسن - کواترنری در این بخش "احتمالاً" به سبب فعل بودن این قطعه از سامانه گسل درونه و نرخ فرایش بیشتر آن در این ناحیه می باشد.

### ۴-۲. طاقدیس های ۱ و ۲ کال ازغنده

در خاور روستای ازغنده نیز، در محل خم راست پله گسل راستالغز چپ بر درونه،

و جنوب در تغییر است و با در نظر گرفتن مؤلفه شبی لغز معکوس و جهت محورهای اصلی تنش در راستای این گسل، برپایی رسوبات بر روی فرادیواره آن به چشم می خورد. این چین خوردنگی های جوان بیشتر در نهشته های کوه سرخ (شکل ۱) توسعه از رشته کوه های شمالی (رشته کوه های کوه سرخ) منشأ گرفته اند (شکل ۱) توسعه یافته است و نهشته های مارن و سنگ ماسه نوژن هسته این چین ها را تشکیل می دهند. با توجه به رنگ روش رسوبات نوژن در هسته این ساختارها و نامتGANس بودن آنها با رسوبات آبرفی که پس از فرایش رسوبات جوان کواترنری بروزند یافته اند، می توان این چین ها را در تصاویر ماهواره ای شناسایی کرد. يال های تشکیل دهنده این طاقدیس ها را به طور عمده رسوبات جوان کواترنری و بعضی سنگ جوش پلیوسن تشکیل می دهند. در نهایت می توان نرخ فرایش را برای هر چین خوردنگی با استفاده از رابطه  $Z/H = \frac{H}{L}$  محاسبه کرد. در این رابطه آنرا نرخ فرایش رسوبات طی فرایند چین خوردنگی،  $Z$  ارتفاع چین به وجود آمده و  $L$  زمان سپری شده از هنگام رسوبگذاری نهشته های فرایش یافته و یا به عبارت دیگر سر جوان ترین واحد رسوبی چین خورده است. در مجموع، ۱۲ طاقدیس و پشته فشاری فعل در بخش میانی سامانه گسل درونه مورد بررسی قرار گرفته است (شکل ۱). در مطالعه چین های ياد شده از افزون بر بررسی های صحرایی از مدل های ارتفاعی رقومی با قدرت تفکیک مکانی ۱۰ متر که از نقشه های توپوگرافی رقومی ۱:۲۵۰۰۰ تهیه شده اند، تصاویر ماهواره لندست ۷ با قدرت تفکیک مکانی ۱۵ متر و عکس های هوایی با مقیاس ۱:۲۰۰۰۰ نیز استفاده شده است.

### ۲-۱. طاقدیس کوه شکسته چاهوک

وجود سازوکار راستالغز چپ بر همراه با مؤلفه شبی لغز سامانه گسل درونه و نیز هندسه خم راست پله این گسل در فاصله حدود ۵ کیلومتری جنوب تربت حیدریه سبب فرایش و چین خوردنگی نهشته های پالتوژن پایانی (الیگوسن) و نوژن در طاقدیس کوه شکسته چاهوک شده است. طاقدیس نامتقارن کوه شکسته چاهوک، با طول حدود ۱۰ کیلومتر و پهنه ای بیش از ۸ کیلومتر و بیشینه ارتفاع حدود ۳۰۰ متر است. يال شمال خاوری این طاقدیس به سامانه گسل درونه محدود می شود، در حالی که يال جنوب باختری آن با شبی ملايم تری نسبت به يال شمال خاوری به نهشته های کواترنری دشته است (شکل ۲). در يال شمال خاوری طاقدیس عموماً سنگ ماسه، سنگ فورش و سنگ جوش اليگوسن همراه با مارن، سنگ ماسه و ژیس های میوسن دیده می شود در حالی که يال جنوب باختری را سنگ جوش، مارن و سنگ ماسه های سست نوژن (پلیوسن) می پوشاند. با توجه به محدود شدن رخمنون نهشته های اليگوسن در يال شمالی چین به گسل درونه، می توان انتظار داشت که ادامه این سنگ ها در هسته طاقدیس و در زیر نهشته های نوژن وجود داشته باشد.

بعض جنوب باختری طاقدیس دارای شبی ملايم تری نسبت به بخش شمال خاوری است (شکل ۳- نیمرخ A). وجود تعداد بیشتر آبراهه های متروک که در بخش شمال باختری و حفر ژرف تر آنها نشان دهنده قدمت بیشتر این عوارض نسبت به انواع جنوب خاوری است. این مسئله به احتمال، در اثر رشد چین خوردنگی در جهت جنوب خاوری است. همچنین ارتفاع در دماغه شمال باختری طاقدیس بیشتر از دماغه جنوب خاوری آن است (شکل ۳- نیمرخ های ۱ تا ۳) که نشان دهنده فرایش بخش شمال باختری در مدت زمان زیادتر است که شاهدی دیگر بر رشد چین خوردنگی در سوی جنوب خاور است.

### ۲-۲. طاقدیس کاج درخت

در باختر روستای کاج درخت (شکل ۱) سامانه گسل درونه شامل چندین قطعه گسل راستالغز با امتداد موازی یکدیگر است (شکل ۴)، که با توجه به مؤلفه راستالغز چپ بر این گسل ها و ایجاد فشارش در بلوك های محصور به این گسل ها، بالآمدگی و چین خوردنگی در رسوبات جوان کواترنری دیده می شود (شکل ۴ و شکل ۵ نیمرخ ۲) چین خوردنگی یاد شده که با عنوان طاقدیس کاج درخت از آن نام برده می شود، در

از رسوبات سنگ ماسه، سنگ جوش، مارن و توف‌های الیکومن- میوسن تشکیل شده است، در حالی که در یال‌های آن نهشته‌های جوان پلیوسن- پلیستوسن دیده می‌شود. طول این طاقدیس حدود  $1/9$  کیلومتر و بیشینه پهنای آن (در بخش باختری) بیش از  $1$  کیلومتر است. اثر سطح محوری این طاقدیس بر روند سامانه گسل درونه منطبق است. اختلاف شیب لایه‌های جوان پلیوسن- پلیستوسن نیز فرایش رسوبات و چین خوردگی آنها را در بلوک دوکی شکل محصور به دو قطعه گسلی خاوری- باختری تأیید می‌کند. به گونه‌ای که در یال جنوبی این طاقدیس سنگ جوش‌ها و نهشته‌های سمت آبرفتی پلیستوسن دارای شیب  $40$  درجه به سوی جنوب هستند، در حالی که رسوبات آبرفتی پلیستوسن یال شمالی دارای شیب حدود  $30$  درجه به سوی شمال هستند (شکل  $13$ ). ضمن این که بیشینه افزار گسل درونه نیز با ارتفاع حدود  $30$  متر به دنبال بریده شدن رسوبات مخروط‌افکنهای دیده می‌شود (شکل  $13$ -a). مخروط‌افکنه فرایش یافته خاور قوج پلنگ به واسطه عملکرد چپ بر سامانه گسل درونه بریده و جابه‌جا شده است.

## ۷-۲. طاقدیس باختر قوج پلنگ

طاقدیس باختر قوج پلنگ نیز به موازات طاقدیس خاوری با روندی تقریباً خاوری- باختری قرار دارد. این طاقدیس نیز همانند طاقدیس خاوری، در واقع مخروط‌افکنهای فرایش یافته در خم راست‌پله و محصور بین دو قطعه گسلی با راستای خاوری- باختری است، که به واسطه عملکرد چپ بر سامانه گسل درونه بریده و جابه‌جا شده است (شکل‌های  $14$  و  $16$ ). جنبش گسل درونه در این ناحیه سبب جابه‌جایی رسوبات سنگ ماسه، سنگ جوش، مارن و توف‌های الیکومن- میوسن در هسته و رسوبات جوان کواترنری در یال‌های طاقدیس شده است (شکل  $17$ ).

نیمرخ  $A$  از شکل  $14$  در جهت خاوری- باختری و به موازات سامانه گسل درونه رسم شده است. در این نیمرخ، آبراهه‌های متعددی دیده می‌شود، سمت باختر این نیمرخ رودخانه عهد حاضری را نشان می‌دهد که همچنان فعال است، در حالی که به سمت خاور چندین آبراهه دیگر وجود دارد، این آبراهه‌ها همگی بر روی طاقدیس قوج پلنگ (شمال خاور کاشمر) قرار دارند. به روشنی دیده می‌شود که سطح اساس آبراهه امروزی در حدود  $20$  متر پایین‌تر از آب چاک‌های قدیمی (watergap) موجود بر روی مخروط‌افکنه بالا آمده است (شکل  $16$ ). این مسئله به سبب بالآمدگی و چین خوردگی فعال طاقدیس باختر قوج پلنگ در محل خم گسل است. اثر سطح محوری این طاقدیس نیز می‌تواند منطبق بر سامانه گسل درونه و یا موازی با آن باشد. همان‌طور که در نیمرخ شکل  $15$  دیده می‌شود، تعداد آبراهه‌ها و زرفای آنها در بخش خاوری بیشتر از بخش باختری طاقدیس است. این وضعیت در ارتباط با طاقدیس خاور قوج پلنگ نیز صدق می‌کند، که نشان‌دهنده رشد چین خوردگی در جهت باختری است.

## ۸-۲. طاقدیس شمال محمدیه

در این ناحیه هندسه خمیده (خم راست پله) سامانه گسل درونه و عملکرد راستالغاز چپ بر این سامانه گسلی سبب فرایش رسوبات و ایجاد چین خوردگی جوان دیگری در راستای این سامانه گسلی شده است. طاقدیس محمدیه با طولی حدود  $1/4$  کیلومتر و بیشینه پهنای  $500$  متری، طاقدیس نامتقارن است که در آن یال جنوب باختری با شب ملایم‌تر نسبت به یال شمال خاوری مشخص می‌شود (شکل  $19$ ). اثر سطح محوری این طاقدیس روند تقریبی شمال باختر- جنوب خاوری داشته که به پیروری از هندسه سامانه گسل درونه در این بخش است. در یال‌های این طاقدیس نهشته‌های جوان پلیوسن- پلیستوسن قرار دارد، در حالی که با توجه به موارد مشابه این چین خوردگی در راستای سامانه گسل درونه و نیز واحدهای رسوبی که در زیر نهشته‌های جوان قرار گرفته است، گمان می‌رود که هسته این طاقدیس از نهشته‌های سنگ ماسه، مارن زرد و سبز رنگ و سنگ جوش نثوزن باشد. وجود این سری رسوبات دقیقاً در محدوده شمال چین خوردگی که پس از فرایش یافتن رسوبات

رسوبات نثوزن و نهشته‌های کواترنری فرایش یافته‌اند (شکل  $7$ ). طاقدیس  $1$  کال از غند طاقدیس نامتقارن با روند تقریبی اثر سطح محوری شمال باختر- جنوب خاور است. یال جنوب باختری این طاقدیس بلندتر بوده، در حالی که یال شمال خاوری آن کوتاه‌تر است. طول اثر سطح محوری این طاقدیس بیش از  $2$  کیلومتر و پهنای آن در بخش میانی نیز بیش از  $600$  متر است. نهشته‌های موجود یال‌های طاقدیس  $1$  کال از غند از نوع رسوبات آبرفتی و سنگ جوش سست پلیوسن- پلیستوسن است، در حالی که به احتمال زیاد در هسته پنهان این طاقدیس رسوبات قدیمی تر نثوزن قرار دارد. در بخش‌های خاوری طاقدیس یاد شده نهشته‌های فرایش یافته پلیوسن- پلیستوسن سبب ایجاد طاقدیس دیگر هم‌روند با طاقدیس  $1$  کال از غند شده است. طاقدیس  $2$  کال از غند به طول تقریبی  $1/60$  کیلومتر و بیشینه پهنای  $450$  متر روند شمال باختر- جنوب خاوری دارد. این طاقدیس به واسطه سه رودخانه با روندهای تقریبی شمال- جنوبی بریده شده است. در دو طاقدیس کال از غند نیز تراکم آبراهه‌های خشک بر روی یال جنوب باختری و نیز میل اثر سطح محوری به سمت شمال خاور (به سوی یال شمال خاوری) و شب کمتر یال جنوب باختر نسبت به یال شمال خاور نشان‌دهنده شب گسل به سوی جنوب باختر است. تعداد بیشتر آبراهه‌ها و حفر بیشتر آنها در یال جنوب خاوری طاقدیس‌ها همراه با انحراف چپ بر آنها در امتداد یال شمال خاوری طاقدیس‌ها نشان‌دهنده رشد چین خوردگی در جهت شمال باختری است که به احتمال نشان‌دهنده پایین بودن نرخ فرایش در این ناحیه است. در مورد طاقدیس  $2$  بریدگی طاقدیس توسط چریان آب آبراهه‌های جاری (drainage incision) قابل توجه است.

## ۸-۵. طاقدیس خاور نای

در خاور روستای نای به سبب جنبش شاخه‌ای فرعی از سامانه گسل درونه که با زاویه‌ای حدود  $30$  درجه به این سامانه گسلی می‌رسد، نهشته‌های مارن، سنگ ماسه و سنگ جوش قرمز رنگ نثوزن فرایش یافته‌اند و در مجاورت نهشته‌های جوان پلیوسن- پلیستوسن قرار گرفته‌اند (شکل  $7$ ). شاخه فرعی یاد شده دارای روند شمال باختر- جنوب خاور و سازوکار راستالغاز چپ بر با مؤلفه معکوس است. طول این گسل حدود  $2$  کیلومتر و دارای شیب زیاد ( $80$  تا  $85$  درجه) به سوی شمال خاور است. فرایش نهشته‌های نثوزن در بلوک شمالی این گسل به سبب ترافشارش ناشی از عملکرد چپ بر سامانه گسل درونه و این شاخه گسلی فرعی است.

اثر سطح محوری طاقدیس نای نیز به پیروری از هندسه خم راست پله سامانه گسل درونه، روند شمال باختر- جنوب خاوری دارد. طول این طاقدیس حدود  $1/5$  کیلومتر و پهنای بیشینه آن تقریباً  $1$  کیلومتر است. یال جنوب باختری طاقدیس نای به طور عمده از نهشته‌های پلیوسن- کواترنری تشکیل شده است، در حالی که در هسته بریده شده آن و یال شمال خاوری بیشتر نهشته‌های قدیمی تر میوسن دیده می‌شود (شکل  $11$ ).

با توجه به شکل  $11$  رسوبات هسته این طاقدیس در بخش جنوبی به طور عمده نهشته‌های سنگ جوش و سنگ ماسه قرمز رنگ نثوزن است. در حالی که در نیمه شمالی طاقدیس رسوبات مارن و سنگ ماسه زرد رنگ نثوزن قرار دارد. در طاقدیس خاور نای نیز تعداد آبراهه‌های خشک در یال جنوب باختری به مرتب بیشتر از یال شمال خاوری است. شب اثر سطح محوری به سوی شمال خاور و شب یال شمال خاوری نسبت به یال جنوب باختری بیشتر است.

## ۶-۲. طاقدیس خاور قوج پلنگ

طاقدیس خاور قوج پلنگ در واقع مخروط‌افکنه متروک فراخاسته‌ای است که به سبب هندسه خمیده راست پله سامانه گسل درونه و قرار گیری بخش‌هایی از آن در میان دو قطعه گسلی، دچار فرایش شده است. در این ناحیه، سامانه گسل درونه، بخشی را به صورت دوکی شکل محصور کرده است که در اثر عملکرد چپ بر سامانه گسل درونه و ایجاد ترافشارش منطقه‌ای فرایش یافته است (شکل  $12$ ). هسته این طاقدیس

نهشته‌های فرایش یافته بر روی این طاقدیس‌ها مربوط به سنگ‌جوش و سنگ‌ماسه‌های سخت نشده و رسویات گراوی و ماشه‌ای است. رسویات مارن، سنگ‌ماسه و سنگ‌جوش نتوڑن نیز هسته این طاقدیس‌ها را تشکیل می‌دهند. چین خوردگی‌های باد شده به فراوانی در راستای سامانه گسل درونه، در ناحیه بین شهرستان تربت حیدریه تا باختر شهرستان بردسکن، دیده می‌شوند. این طاقدیس‌ها در رژیم ترافشارش محلی اما طی دو سازو کار متفاوت تشکیل شده‌اند (جدول ۱)؛ دسته نخست، طاقدیس‌هایی هستند که در خم راست پله سامانه گسل درونه (خم گرفتاری، restraining bends) تشکیل شده‌اند، در صورتی که دسته دوم پشته‌های فشاری (pressure ridges) را شامل می‌شوند که در نتیجه همپوشانی شاخه‌های موازی سامانه گسل درونه تشکیل شده‌اند.

- طاقدیس‌های شکل گرفته در خم راست پله سامانه گسل درونه: با توجه به مؤلفه راستالغز چپ بر سامانه گسل درونه، در نواحی خم راست پله گسل، نهشته‌های نتوڑن تا عهد حاضر چین خوردگی را در پهنه‌های شاخه‌های موازی هم دیده می‌شوند. با توجه به همپوشانی شاخه‌های این سامانه گسلی با آرایش نزدبانی و مؤلفه راستالغز چپ بر آن، نهشته‌های جوان نتوڑن تا عهد حاضر تحت تأثیر رژیم ترافشارش محلی ایجاد شده در پهنه‌های برشی محصور بین این گسل‌ها، فرایش یافته‌اند. این فرایش با شکل گیری پشته‌های فشاری در طول گسل مشخص می‌شوند (شکل ۲-۶a). البته در شکل گیری این طاقدیس‌ها جهت شیب سامانه گسل درونه نیز عامل مهمی به شمار می‌رود، اثر جهت شیب گسل بویژه در شکل گیری طاقدیس‌های ایابد و مهلاز که تابع مدل‌های بالا نیستند، آشکارتر است، در این ناحیه شیب به سوی جنوب گسل و بردار کوتاه‌شده کلی با راستای شمال خاور-جنوب باختر سبب شده تا نهشته‌های کواترنری در بلوک گسل فرایش یابند، این مسئله افزون بر طاقدیس‌های ایابد و مهلاز در باختر بردسکن نیز دیده می‌شود (شکل ۱).

سن سنتجی به روش OSL بر روی دو نمونه رسوبی از بالاترین بخش‌های فرایش Fattahi et al. (2007) یافته در طاقدیس (بادزن فرایش یافته) با ختر قوچ پلنگ توسط  $14/7 \pm 4/8$  و  $51/4 \pm 10/2$  را برای این دونمنه نشان می‌دهد که با در نظر گرفتن میانگین این دو مقدار و تعیین آن به جوان ترین نهشته‌های فرایش یافته در هر طاقدیس می‌توان بیشینه نرخ نسبی فرایش را در هر کدام از آنها برآورد کرد (جدول ۲). نحوه تشکیل و توسعه چین‌ها و پشته‌های فشاری فعل در راستای سامانه گسل درونه به طور عمده در نواحی با بیشینه میزان جابه‌جا‌یابی افقی تجمعی تمرکز یافته است. به عبارت دیگر نرخ لغزش افقی تجمعی این گسل با نرخ فرایش تجمعی آن متناسب است (slip rate ~uplift rate) که نشان‌دهنده بیشترین فعالیت سامانه گسلی درونه در محدوده موردنظر است. این مسئله با توجه به رخداد زمین‌لرزه‌های تاریخی و دستگاهی در این محدوده مکانی نیز تأیید می‌شود (شکل ۲-۷).

نمودار یاد شده نشان می‌دهد که نواحی با نرخ فرایش زیاد متنطبق با بخش‌های از گسل هستند که بیشترین رومگزه‌های زمین‌لرزه‌های دستگاهی در آن نواحی قرار گرفته‌اند. بیشترین میزان نرخ فرایش از خاور به سوی باختر به ترتیب بر روی طاقدیس‌های شکسته چاهوک، طاقدیس باختر قوچ پلنگ و طاقدیس کوه تیغ احمد است در همین نواحی یعنی بازه‌های مکانی ۰ تا ۲۰، ۶۰، ۸۰ تا ۱۰۰ تا ۱۲۰ که منطبق با طاقدیس‌های یاد شده هستند، بیشترین تعداد رومگز زمین‌لرزه قرار دارد. ضمن این که باید بیان کرد که این نواحی همراه با شواهد فراوانی از جابه‌جا‌یابی افقی سامانه گسل درونه نیز هستند. به عبارت دیگر می‌توان گفت، در راستای سامانه گسل درونه نرخ فرایش ~ نرخ لغزش

جوان پلیوسن-پلیستوسن بروند یافته‌اند، این فرضیه را قوت می‌بخشد.

## ۹-۲. طاقدیس شمال خلیل‌آباد

طاقدیس شمال خلیل‌آباد، چین خوردگی نامتناصر با اثر سطح محوری خاوری- باختری است (شکل ۱۸). شبیه یال شمالی این طاقدیس به مراتب بیشتر از یال جنوبی آن بوده و رسویات جوان پلیستوسن یال‌های آن را پوشانده‌اند (شکل ۱۹).

طول طاقدیس شمال خلیل‌آباد به حدود ۱/۱ کیلومتر و پهنه‌ای آن در بخش میانی به ۵۰۰ متر می‌رسد. در باختر طاقدیس شمال خلیل‌آباد افزار سامانه گسل درونه به دنبال قطع رسویات مخروط افکنه نسبتاً قدیمی این منطقه اختلاف ارتقای بیش از ۴۰ متر را به وجود آورده است (شکل ۱۹).

## ۱۰-۲. طاقدیس کوه تیغ احمد

طاقدیس کوه تیغ احمد در شمال روستای ایرج‌آباد و خاور رو درخانه شش تراز از رسویات مارن و سنگ‌ماسه نتوڑن در هسته و نهشته‌های جوان پلیوسن-پلیستوسن در یال‌ها تشکیل شده است. طاقدیس یاد شده به واسطه عملکرد چپ بر سامانه گسل درونه بریده و حدود ۴۳۰ متر به صورت چپ بر جایه‌جا شده است (شکل‌های ۲۰ و ۲۱).

طول تقریبی طاقدیس کوه تیغ احمد حدود ۲/۴ کیلومتر و پهنه‌ای آن ۱/۶ کیلومتر است. در شکل ۲۳ نیمرخ A در جهت موازی و نیمرخ ۱ در جهت عمود بر اثر سطح محوری این طاقدیس تهیه شده است. همان طور که در این نیمرخ دیده می‌شود، طاقدیس کوه تیغ احمد نامتناصر بوده و شبیه یال جنوبی آن ملائم‌تر از یال شمالی است. در باختر این طاقدیس افزار گسل درونه به صورت پلکانی با ارتفاع تقریبی ۲۰-۳۰ متر دیده می‌شود. وجود ریخت‌شناسی پلکانی افزار سامانه گسل درونه احتمالاً به سبب مهاجرت روبه جنوب این سامانه گسلی در طول زمان است (شکل‌های ۲۲ و ۲۳-نیمرخ ۳). در ارتباط با نحوه توسعه و رشد طاقدیس کوه تیغ احمد با استفاده از جهت انحراف چپ بر آبراهه‌ها می‌توان انتظار داشت که جهت رشد این طاقدیس نیز همانند سایر چین خوردگی‌ها به سوی باختر است (شکل‌های ۲۲ و ۲۳).

## ۱۱-۲. طاقدیس افابد

طاقدیس افابد، طاقدیسی متقارن به طول ۳ و پهنه‌ای ۱/۵ کیلومتر است. تقارن آن در هر دو نیمرخ طولی و عرضی دیده می‌شود (شکل ۲۵). بیشینه ارتفاع این طاقدیس حدود ۷۰ متر است. یال شمالی طاقدیس افابد به واسطه عملکرد گسل درونه بریده شده و نهشته‌های پالتوژن در آن نمایان هستند (شکل ۲۶). با توجه به این که توسعه آبراهه‌ها در هر دو بخش خاوری و باختری آن یکسان است و شبیه هر دو دماغه آن شیبه به هم است می‌توان نتیجه گرفت که رشد این طاقدیس در هر دو سوی جنوب باختر و شمال خاور به یک اندازه انجام می‌پذیرد.

## ۱۲-۰. طاقدیس مهلاز

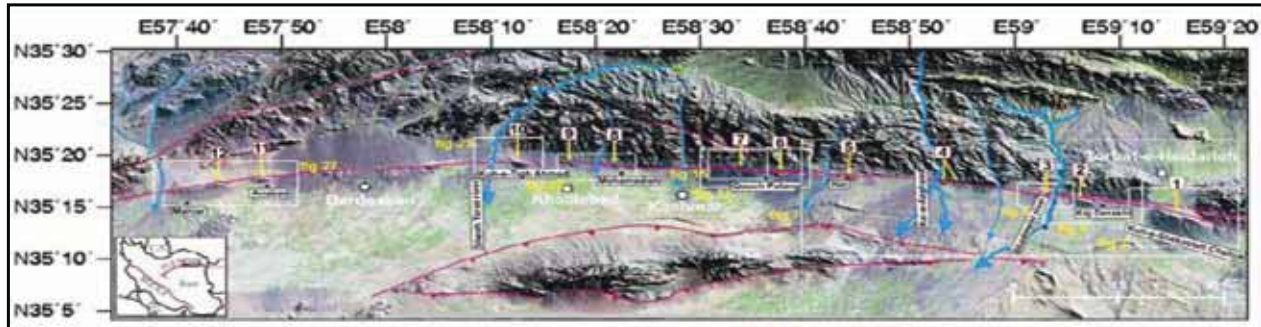
طاقدیس مهلاز، طاقدیسی کشیده است که نسبت طول به پهنا در آن نسبتاً زیاد است (شکل ۲۵). طول طاقدیس در حدود ۱۰ کیلومتر و پهنه‌ای آن به ۳ کیلومتر می‌رسد. در این طاقدیس نیز گسل درونه جدا کننده نهشته‌های جوان پلیوسن از نهشته‌های قدیمی تر (پالتوژن) در یال شمالی طاقدیس است. این طاقدیس نیز نامتناصر است به گونه‌ای که شبیه یال شمال باختری آن بیشتر از یال جنوب خاوری است. ارتفاع و شبیه توپوگرافی در دماغه جنوب باختری بیشتر از دماغه شمال خاوری آن است. تعداد بیشتر آبراهه‌های بالا‌مد و متراک و انحراف مسیر آبراهه‌ها در سوی دماغه شمال خاوری همراه با شبیه کمتر آن نمایانگر رشد چین خوردگی به سوی شمال خاور در این طاقدیس است.

## ۳- بحث و نتیجه‌گیری

ترافشارش محلی در راستای سامانه گسل درونه، سبب تشکیل چین خوردگی در نهشته‌های آبرفته پلیوسن-پلیستوسن شده است، به گونه‌ای که معمولاً جوان ترین

متروک (خشک شده)، مقدار حفر آنها و اختلاف ارتفاع در دو داماغه طاقدیس تعیین کرد، بر این پایه رشد بیشتر این طاقدیس‌ها به سمت باخته و شمال باخته است در حالی که تعدادی از آنها به سمت خاور در حال پیشروی هستند.

نرخ رویداد زمین‌لرزه‌ها، که البته تراکم جمعیت و حضور چند شهر و روستاهای متعدد در این بخش از سامانه گسل درونه توجه به این نکته را دو چندان می‌کند. راستای رشد چین خوردگی‌های بالا را می‌توان با توجه به الگوی آبراهه‌های



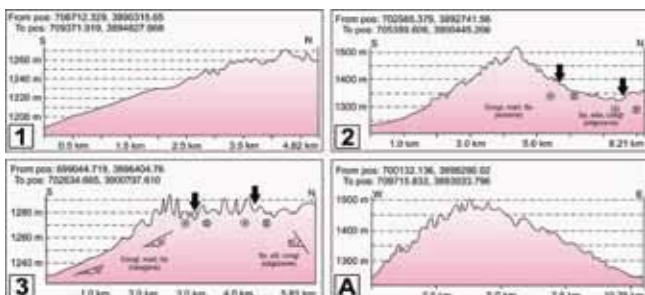
شکل ۱- چن خوردگی جوان پلیوسن-کواترنری در بخش میانی سامانه گسل درونه در تصویر همپوشان ماهواره ندست ۷ با مدل ارتفاعی رقومی با قدرت تفکیک مکانی ۱۰ متر، در این شکل هریک از طاقدیس‌های مطالعه شده با شماره مشخص شده‌اند. هر یک از اعداد نشانگر یک طاقدیس است.

جدول ۱- دسته‌بندی طاقدیس‌های مطالعه شده با توجه با سازوکار تشکیل آنها

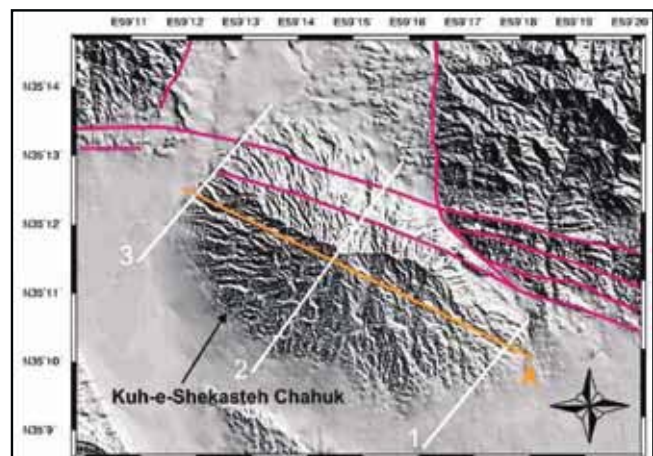
	شمال خلیل آباد	باخته قوچ پلنگ	خاور قوچ پلنگ	باخته کال شادمهر	پشتہ فشاری
شمال محمودیه	شمال ازغند	او ۲ کال ازغند	کاج درخت	کاج درخت	طاقدیس فشاری

جدول ۲- مقادیر مربوط به نرخ نسبی فرایش و بیشینه ارتفاع بر روی هر طاقدیس، بیشینه نرخ نسبی فرایش در هر طاقدیس با استفاده از رابطه  $\bar{t} = Z/t$  برآورد شده است. همچنین بیشینه ارتفاع نیز با استفاده از نیمرخ‌های توپوگرافی بر روی مدل‌های ارتفاعی رقومی تهیه شده با قدرت تفکیک ۱۰ متر تعیین شده‌اند.

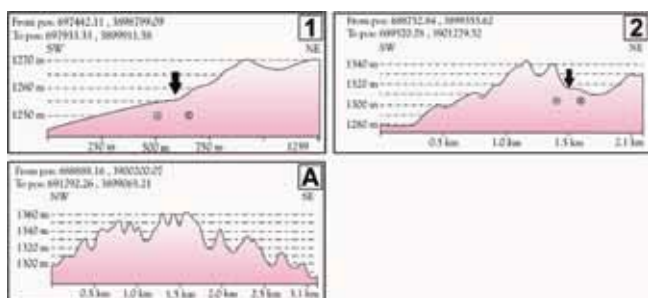
مهار	اتابد	کوه تیغ احمد	شمال خلیل آباد	شمال محمدیه	باخته قوچ پلنگ	خاور نای	خاور کال	۱ خاور کال ازغند	۲ خاور کال ازغند	کاج درخت	کوه شکسته چاهوک	پشتہ ارتفاع (m)
۱۰۰	۷۰	۱۵۰	۶۰	۸۰	۱۵۰	۱۰۰	۸۰	۴۰	۶۰	۱۰۰	۳۰۰	نرخ نسبی فرایش (mmyr <sup>-1</sup> )
۲/۱۱	۱/۴۷	۳/۱۶	۱/۲۶	۱/۶۸	۲/۱۶	۲/۱۱	۱/۶۸	۰/۸۴	۱/۲۶	۲/۱۱	۶/۳۲	



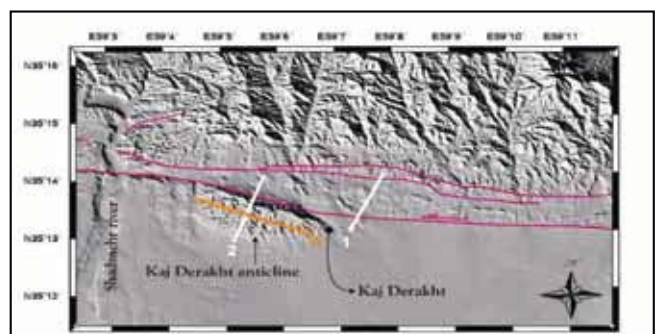
شکل ۳- نیمرخ‌های توپوگرافی تهیه شده از طاقدیس کوه شکسته چاهوک، نیمرخ ۱ از داماغه جنوب خاوری با بیشینه ارتفاع ۱۲۷۰ متر و نیمرخ ۳ از داماغه شمال باخته با بیشینه ارتفاع ۱۲۹۰ متر تهیه شده‌اند. این دو نیمرخ همراه با نیمرخ شماره A نشان دهنده اختلاف ارتفاع در دو داماغه طاقدیس هستند. نیمرخ ۲ از میانه طاقدیس تهیه شده و بیشینه ارتفاع ۱۵۰۰ متر را بر روی آن شان می‌دهد. افزون بر این اختلاف شب طبقات رسوبی در دو یال شمال خاوری و جنوی باخته طاقدیس کوه شکسته چاهوک در نیمرخ شماره ۳ نمایش داده است. همچنین محل گذر دو شاخه موازی گسل درونه نیز با پیکان‌های سیاه رنگ نشان داده شده است.



شکل ۲- مدل ارتفاعی رقومی (با قدرت تفکیک مکانی ۱۰ متر) از طاقدیس کوه شکسته چاهوک. خطوط پیمایش نیمرخ‌های توپوگرافی شکل ۳ و همچنین موقعیت طاقدیس نسبت به سامانه گسل درونه نیز نمایش داده شده است.



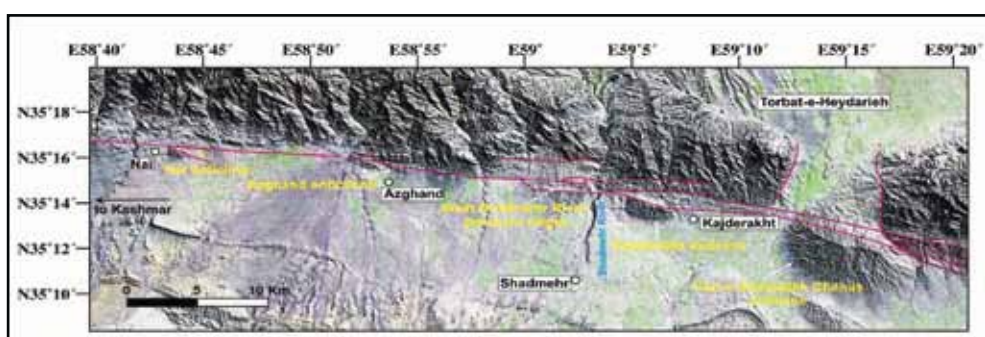
شکل ۵- نیمرخ ۱ نیمرخ توپوگرافی تهیه شده از پشته های فشاری (pressure ridges) شمال و خاور طاقدیس کاج درخت است در حالی که نیمرخ ۲ نیمرخ های عمود بر اثر محوری طاقدیس کاج درخت و نیمرخ A در جهت موازی با اثر محوری این طاقدیس تهیه شده است.



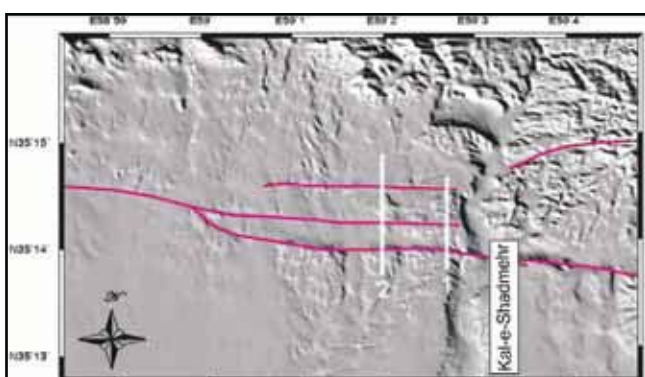
شکل ۴- مدل ارتفاعی رقومی (با قدرت تفکیک مکانی ۱۰ متر) از طاقدیس کاج درخت همراه با خطوط نیمرخ های توپوگرافی. خطوط پیمایش نیمرخ های توپوگرافی شکل ۵ و همچنین موقعیت طاقدیس نسبت به سامانه گسل درونه نیز نمایش داده شده است.



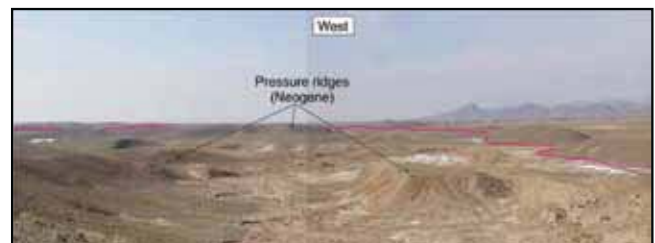
شکل ۶- نمای طاقدیس کاج درخت در محل رو دخانه شادمهر، فرایش و بروزد رسوبات نوژن در بلوك شمالی گسل درونه دیده می شود.



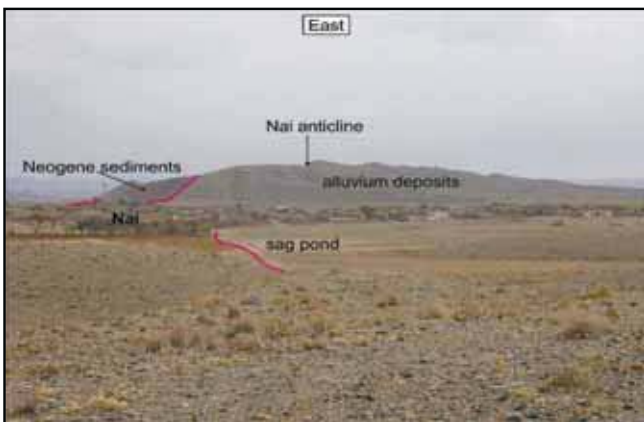
شکل ۷- تصویر همپوشان ماهواره ندست ۷ با مدل ارتفاعی رقومی از طاقدیس کوه شکسته چاهوک، طاقدیس کاج درخت، پشته های فشاری تشکیل شده در باخت کال شادمهر، طاقدیس های ازغند و طاقدیس نای.



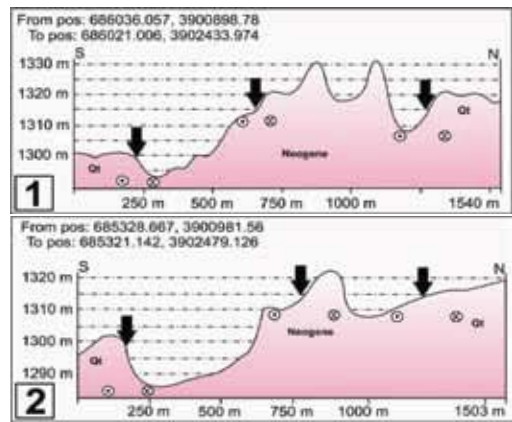
شکل ۹- مدل ارتفاعی رقومی (با قدرت تفکیک مکانی ۱۰ متر) از پشته های فشاری باخت کال شادمهر و خطوط پیمایش نیمرخ های توپوگرافی شکل ۱۰.



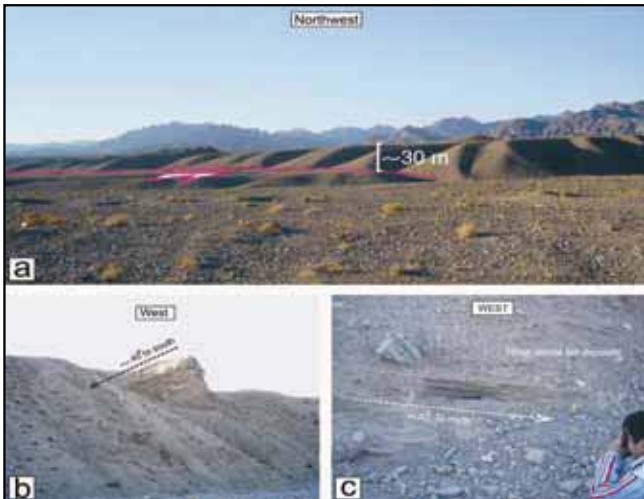
شکل ۸- فرایش نهشت های نوژن بین شاخه های سامانه گسل درونه. در فضای محدود بین شاخه های سامانه گسل درونه به سبب همپوشانی قطعات گسلی و سازو کار راستالغز چپ بر گسل، رسوبات نوژن فرایش یافته اند.



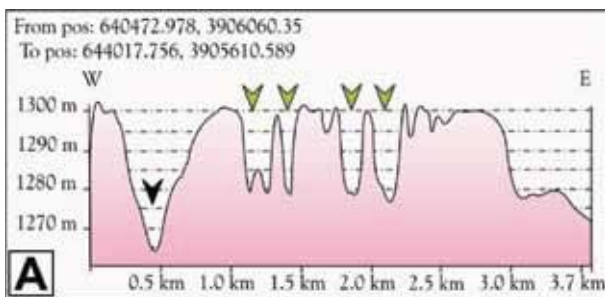
شکل ۱۱- اختلاف سنگ‌شناسی در طاقدیس نای. در یال شمالی نهشته‌های قدیمی‌تر دیده می‌شود، ضمن این‌که شاخه فرعی و ارتباط آن با گسل درونه نیز مشخص شده است.



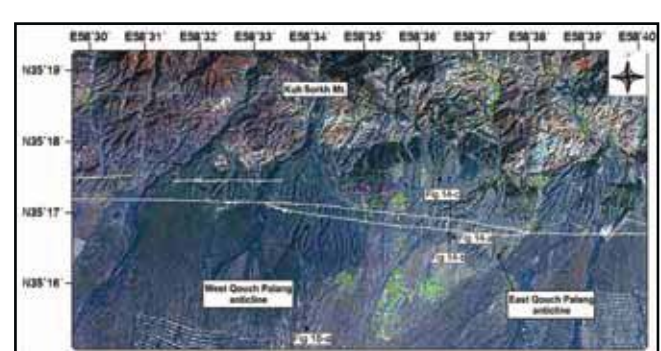
شکل ۱۰- نیمرخ‌های توپوگرافی تهیه شده از پشت‌های فشاری باخترا کال شادمهر، این نیمرخ‌ها در جهت عمود بر سامانه گسل درونه رسم شده‌اند. در هر نیمرخ نهشته‌های نتوژن در حد فاصل شاخه‌های گسل درونه که با پیکان‌های سیاه رنگ نشان داده شده است فرایش یافته‌اند.



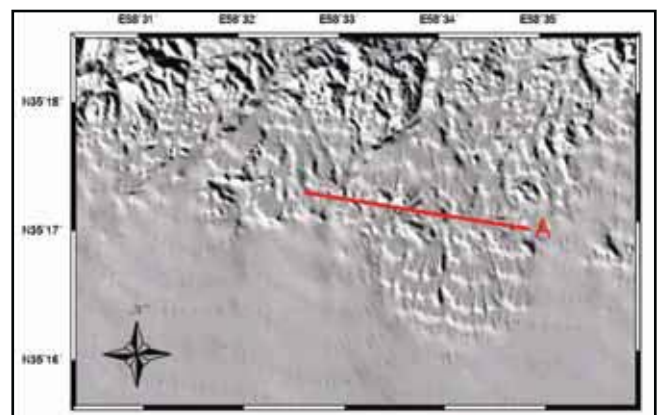
شکل ۱۳- (a) افراز سامانه گسل درونه در محل طاقدیس (بادزن) بریده شده خاور قوچ پلنگ. بیشینه ارتفاع این افراز به حدود ۳۰ متر می‌رسد. (b) رسوبات جوان پلیوسن-پیستوسن با شبیه به سوی جنوب در یال جنوبی. (C) نهشته‌های مخروط افکنه‌ای کواترنر در یال شمالی بلوک دو کی شکل محصور بین شاخه‌های گسل درونه، کج شدگی به سمت شمال در این نهشته‌های جوان به روشنی دیده می‌شود.



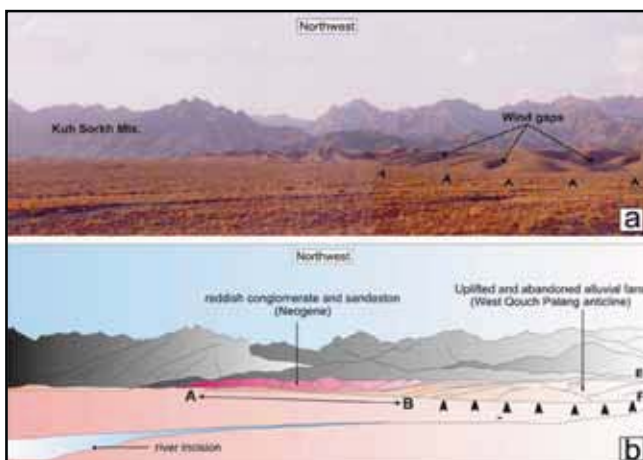
شکل ۱۵- نیمرخ توپوگرافی موازی با اثر محوری طاقدیس باخترا قوچ پلنگ. پیکان‌های سیاه رنگ وجود تعداد زیادی آب چاک را بر روی آن نشان می‌دهند، در حالی که پیکان سیاه رنگ نیمرخ رودخانه جاری عهد حاضر را نشان می‌دهد.



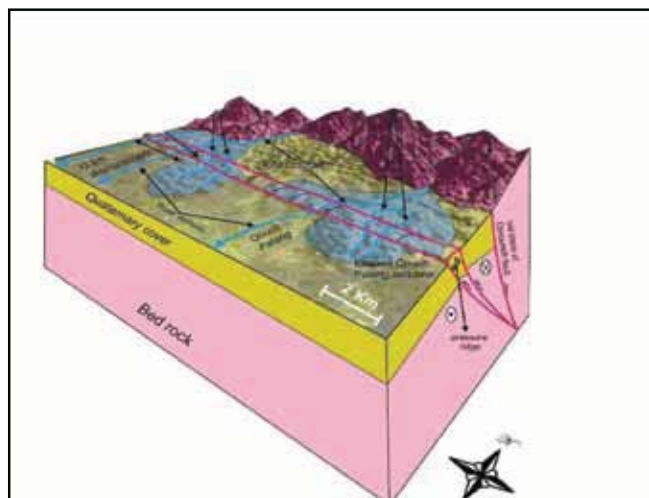
شکل ۱۲- تصویر ماهواره‌ای از طاقدیس‌های خاور و باخترا قوچ پلنگ و سامانه گسل درونه. در این تصویر موقعیت و جهت تصاویر a-۱۴ تا c-۱۸ نیز تصویر a-۱۸ نشان داده شده است.



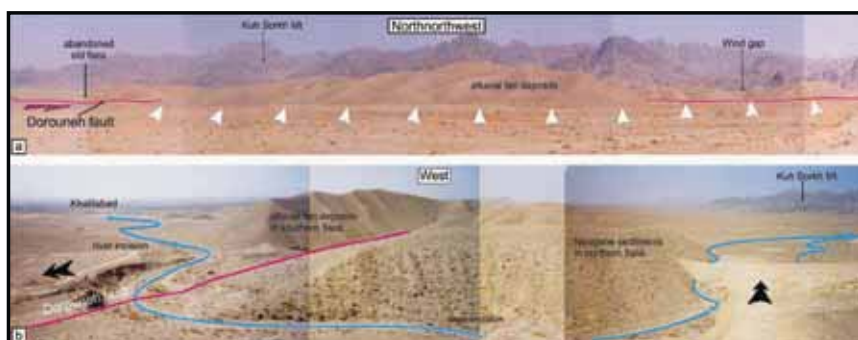
شکل ۱۴- مدل ارتفاعی رقومی (با قدرت تفکیک مکانی ۱۰ متر) از طاقدیس (بادزن) باخترا قوچ پلنگ و خط پیمایش نیمرخ توپوگرافی A بر روی آن.



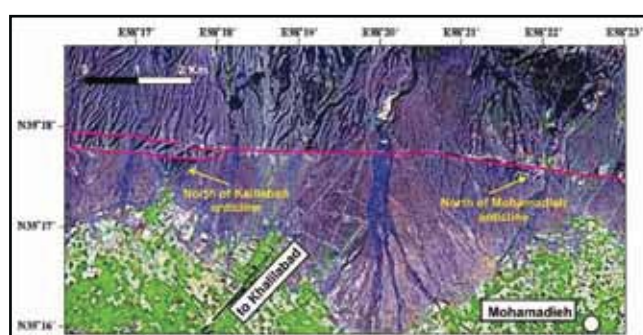
شکل ۱۷- نمایش ویژگی‌های ریخت‌شناسی سامانه گسل درونه در ناحیه قوچ بلنگ (a) بریدگی طاقدیس به واسطه جنبش چپ بر سامانه گسل درونه (b) تصویر نمادین از بریدگی طاقدیس باختر قوچ بلنگ. A-B. جایه‌جایی ۸۰۰ متری بر روی سامانه گسل درونه و E-F بیشینه ارتفاع طاقدیس (بادزن) باختر قوچ بلنگ را در این ناحیه نشان می‌دهد. رسوبات زرد و قرمز الیگومن-میوسن در محل این بریدگی دیده می‌شوند که بیانگر رسوبات موجود در هسته این طاقدیس است. پیکان‌های سیاه‌رنگ نشان‌دهنده مرز جنوبی طاقدیس باختر قوچ بلنگ است.



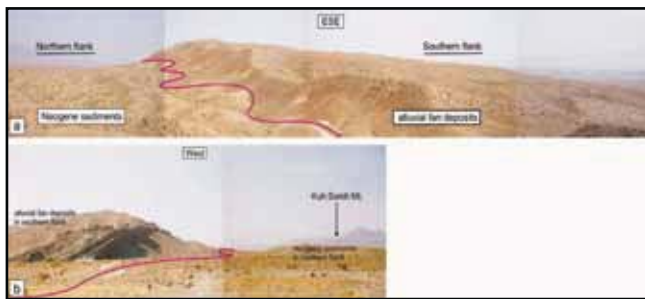
شکل ۱۶- مدل سه‌بعدی از سامانه گسل درونه در ناحیه قوچ بلنگ (شمال خاور کاشمر). در این مدل نهشته‌های فرایش یافته در بلوک دوکی شکل محصور بین شاخه‌های گسل، طاقدیس‌ها (بادزن‌های) خاور و باختر قوچ بلنگ، بیشینه میزان جایه‌جایی بیشتر از ۳ کیلومتر بر روی قطعه شادمهر، آب چاک‌ها (water gaps) و بریدگی بادزن‌ها توسط رودخانه‌های جاری امروزی نیز دیده می‌شود. همان‌گونه که دیده می‌شود بلوک دوکی شکل نام بده شده بهخش فرایش یافته‌ای است که بین دو شاخه گسل محصور است، در واقع به سبب حرکت چپ بر این دو شاخه گسلی و ترافشارش ناشی از این جنبش این بخش بالا آمده است. افزون بر این، مؤلفه شب‌لغز گسل‌ها نیز در فرایش این ناحیه مؤثر واقع شده‌اند.



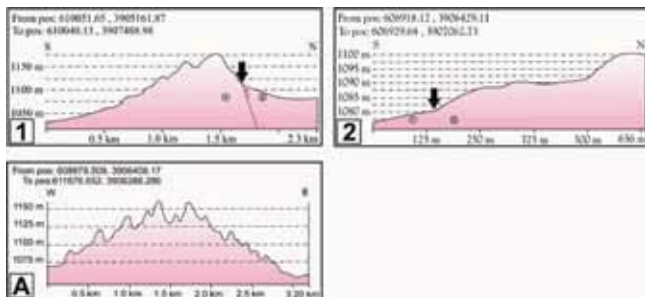
شکل ۱۸- (a) منظره طاقدیس شمال خلیل‌آباد در شمال شهر خلیل‌آباد. پیکان‌های با رنگ سفید، حاشیه یال جنوبی این طاقدیس را نشان می‌دهند. (b) نهشته‌های بادزن آبرفتی در یال جنوبی و رسوبات مارني نئوژن در یال شمالی طاقدیس خلیل‌آباد دیده می‌شوند. پیکان‌های سیاه‌رنگ سوی حرکت بلوک‌های شمالی و جنوبی گسل را نشان می‌دهند.



شکل ۱۹- تصویر ماهواره‌لندست ۷ از طاقدیس‌های شمال محمدیه و شمال خلیل‌آباد.



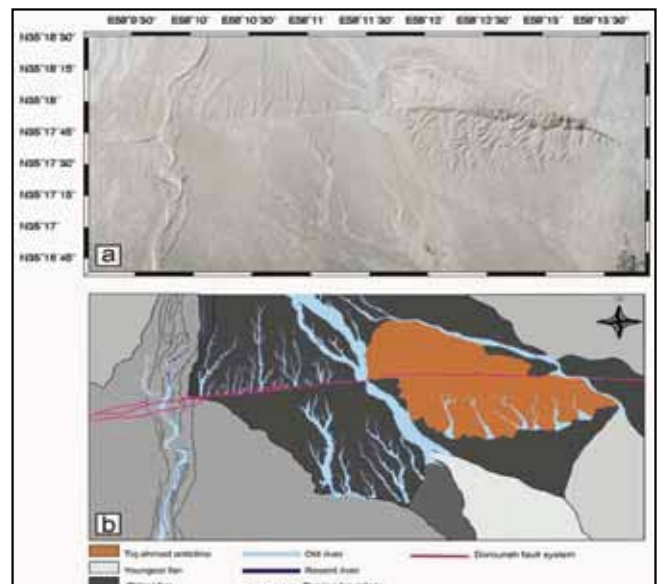
شکل ۲۱- (a) نهشته‌های جوان پلیوسن-پلیستوستن در یال جنوبی و رسوبات مارن و سنگ‌ماسه نتوئن در یال شمالی طاقدیس کوه تیغ احمد. اختلاف ارتفاع این دو یال که به سبب تفاوت فرسایش پذیری در این نهشته‌ها می‌باشد، نیز آشکار است. (b) لایه‌های شیب‌دار سنگ‌جوش سخت نشده پلیوسن-پلیستوستن در یال جنوبی طاقدیس با شیب به سوی جنوب.



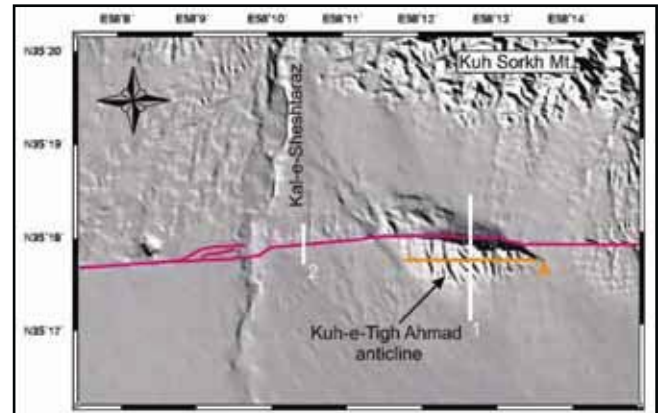
شکل ۲۲- نیمرخ‌های توپوگرافی رسم شده بر روی طاقدیس کوه تیغ احمد و افزار سامانه گسل درونه، نیمرخ ۱ در جهت عمود و نیمرخ A در جهت موازی بر اثر محوری طاقدیس کوه تیغ احمد رسم شده است. نیمرخ ۲ نیز در جهت عمود بر سامانه گسل درونه از افزار این سامانه گسلی به دست آمده است.



شکل ۲۴- نمایی از یال جنوبی طاقدیس اتابد. این یال از سنگ‌جوش و سنگ‌ماسه‌های سست پلیوسن تشکیل شده است. توسعه آبراهه‌های متروک و فراش یافته بر روی این طاقدیس آشکار است.



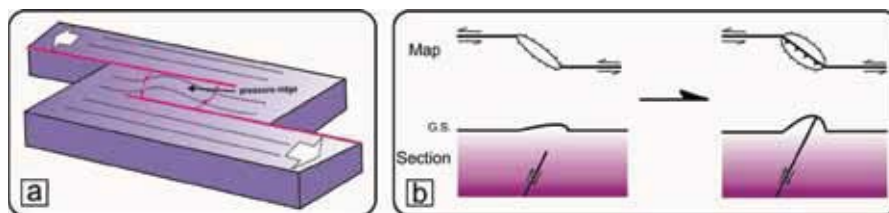
شکل ۲۰- (a) عکس هوایی با مقیاس ۱:۲۵۰۰۰ از طاقدیس کوه تیغ احمد و افزار سامانه گسل درونه در باخته آن. رودخانه شش تراز در سوی باخته تصویر دیده می‌شود. (b) در نقشه ریخت‌شناسی ساده تهیه شده همین منطقه با ذهن‌های آبرفتی با توجه به سن با طیفی از رنگ‌های خاکستری تیره تا روشن مشخص شده‌اند. ضمن این که بادگانه‌های آبرفتی رودخانه شش تراز نیز با نقطه چین در طرفین این رودخانه نمایش داده شده‌اند.



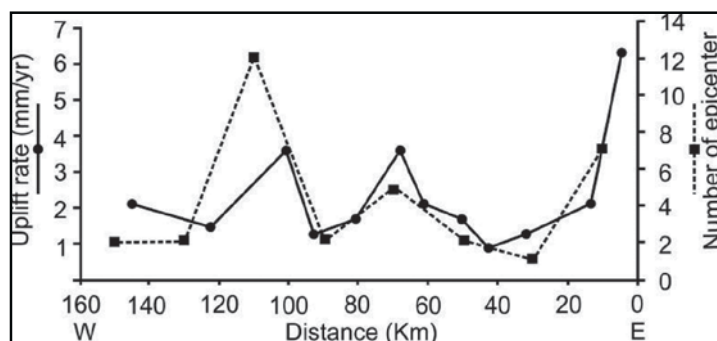
شکل ۲۲- مدل ارتفاعی رقومی (با فاصله تفکیک مکانی ۱۰ متر) از طاقدیس کوه تیغ احمد و افزار سامانه گسل درونه در باخته این طاقدیس و خطوط نیمرخ‌های توپوگرافی.



شکل ۲۵- تصویر ماهواره‌ای لندست ۷ از طاقدیس‌های اتابد و مهلا در خاوری‌ترین قسمت‌های بخش میانی سامانه گسل درونه



شکل ۲۶ - (a) تصویر نمادین از شکل گیری پشتهدای فشاری و به دنبال آن ایجاد گسل‌های واژگون در نواحی همپوشان راست پله در سامانه گسلی درونه (b) مدل ساده ساختاری از شکل گیری طاقدیس‌های به وجود آمده در خم راست پله یا خم گرفتاری (restraining bends) سامانه گسل درونه.



شکل ۲۷ - نمودار توزیع نرخ فرایش طاقدیس‌ها و توزیع رومرکز زمین‌لرزه‌ها نسبت به فاصله از مبدأ قراردادی (دماغه جنوب خاوری طاقدیس کوه شکسته چاهوک). توزیع رومرکز زمین‌لرزه‌های دستگاهی جدید اطراف سامانه گسل درونه نسبت به بازه‌های فاصله ۲۰ کیلومتری از مبدأ است. رومرکرها با فاصله تقریبی ۲۰ کیلومتر از شمال و جنوب گسل شمارش شده‌اند.

## کتابنگاری

جوادی، ح. ر.، ۱۳۸۵- زمین‌ساخت جنبا، لرزه زمین‌ساخت و تحلیل ساختاری سامانه گسل درونه. پایان‌نامه کارشناسی ارشد. پژوهشکده علوم زمین، سازمان زمین‌شناسی و اکتشافات معدنی کشور.

## References

- Allen, M. B., Blanc, E. J. P., Walker, R., Jackson, J., Talebian, M. & Ghassemi, M. R., 2006- Contrasting styles of convergence in the Arabia-Eurasia collision: Why escape tectonics does not occur in Iran, Geological Society of America Special Paper 409, p. 579-589.
- Burbank, D., Meigs, A. & Brozovfc, N., 1996- Interactions of growing folds and coeval depositional systems. Basin Research, 8, 199-223.
- Fattahai, M., Walker, R. T., Khatib, M. M., Dolati, A. & Bahroudi, A., 2007- Slip-rate estimate and past earthquakes on the Doruneh fault, eastern Iran. Geophys. J. Int. 07) 168, 691-709.
- Jackson, J., McKenzie, D., 1984- Active tectonics of the Alpine-Himalayan Belt between western Turkey and Pakistan, Geophys. J. R. Astron. Soc., 77, 185 – 264.
- Keller, E. A., Zepeda, R. L., Rockwell, T. K., Ku, T. L. & Dinklage, E. S., 1998- Active tectonics at Wheeler Ridge, Southern San Joaquin Valley, California. G.S.A. Bulletin 110:298-310.
- Keller, E. A. & Pinte, N., 2002- Active Tectonics: Earthquakes, Uplift, and Landscape. Prentice Hall, 362p.
- Jackson, J., Haines, J. & Holt, W., 1995- The accommodation of Arabia-Eurasia plate convergence in Iran. Journal of Geophysical Research, 100, 15,205-15,219.
- Jackson, J., Norris, R. & Youngson, I., 1996- The structural evolution of active fault and fold systems in central Otago, New Zealand: evidence revealed by drainage patterns. Journal of Structural Geology, 18, 217-234.
- Stocklin, J. & Nabavi, M. H., 1973- Tectonic map of Iran, 1:250000, GSI, Tehran.
- Vernant, P., Nilforoushan, F., Hatzfeld, D., Abbassi, M., Vigny, C., Masson, F., Nankali, H., Martinod, J., Ashtiani, A., Bayer, R., Tavakoli, F. & Chery, J., 2004- Contemporary crustal deformation and plate kinematics in Middle East constrained by GPS measurements in Iran and northern Iran: Geophysical Journal International, v. 157, p. 381-398.
- Walker, R. & Jackson, J., 2004- Active tectonics and late Cenozoic strain distribution in central and eastern Iran, Tectonics, 23, TC5010, doi:10.1029/2003TC001529.
- Wellman, H. W., 1966 - Active wrench faults of Iran, Afghanistan and Pakistan. Geologische Rundschau, 18,217-234.

# Water-Level Fluctuations and Sequence Stratigraphy of the Ab-Talkh Formation at Type Section

E. Ghasemi-Nejad<sup>1\*</sup> & Z. Rezaei<sup>1</sup>

<sup>1</sup> Faculty of Geology, College of Science, Tehran University , Tehran, Iran

Received: 2009 February 22 Accepted: 2009 August 10

## Abstract

The Ab-Talkh Formation (Campanian- Maastrichtian) is one of the lithostratigraphic units of the Kopeh-Dagh sedimentary basin. So far no high resolution sequence stratigraphy has been done on this formation. In this study, we use the fossil evidences to analyse the formation in the sequence stratigraphy framework. For this purpose, after field studies 39 samples were collected and processed for palynology and palynofacies studies. Accordingly three palynofacies(V:Distal shelf , III:Proximal shelf , II:Marginal shelf) determined. Based on changes in percentages of the three major constituents of organic matter, the palynofacies and correlation of all data, three second-order sequences were differentiated. Abundance of warm water dinocysts, presence of fungal spores and the ratio of Peridinoids / Gonyaulacoids indicate dominance of warm climate during depositional course of the Ab-Talkh Formation.

**Keywords:** Water-Level Fluctuations, Sequence Stratigraphy, Ab-Talkh Formation, Fossil Evidences

For Persian Version see pages 91 to 98

\* Corresponding author: E. Ghasemi-nejad; E-mail: eghasemi@Khayam.ut.ac.ir

# Active Folding Induced by Recent Movement of Doruneh Fault System

H. R. Javadi<sup>1\*</sup>, M. R. Ghassemi<sup>1</sup>, M. Shahpasandzadeh<sup>2</sup> & M. Estrabi Ashtiani<sup>1</sup>

<sup>1</sup> Geological Survey of Iran, Tehran, Iran.

<sup>2</sup> International Center for Science and High Technology Kerman, Kerman, Iran.

Received: 2009 February 23 Accepted: 2009 August 10

## Abstract

Doruneh Fault System (DFS) is located along northern border of Central Iran microplate. Its mechanism is left-lateral strike-slip with reverse dip-slip component. Considering curve geometry of DFS, it is divided into three major parts: eastern, middle and western. Middle part extends from Torbat-e-Heidarieh city in the east to Anabad village in the west. It passes through Quaternary loose alluviums. DFS is composed of different segments in this part. Bend and right-lateral en echelon geometry at surface and left-lateral strike-slip movement of DFS cause local transpression that is observed as young folding. Fold core is composed of Neogene marl, sandstone and siltstone and fold limbs are composed of Pleistocene loose gravelly sediments. Mentioned folds were formed by two different mechanisms: first, Anticlines that formed in right-step bends of DFS and second, pressure ridges that are limited among parallel branches and overlaps of DFS. Estimation of relative uplift rate along mentioned folds indicates that more earthquakes occur in regions with higher uplift rate.

**Keywords:** Doruneh Fault System, Active folding, Pressure ridge, Uplift rate

For Persian Version see pages 99 to 108

\* Corresponding author: H. R. Javadi; E- mail: hr.javadi.k@gmail.com